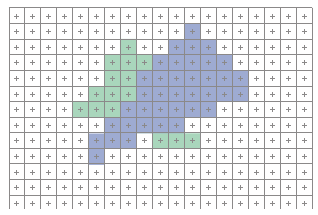





Computer-Graphik I

Polygon Scan Conversion

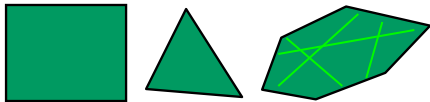


G. Zachmann
 Clausthal University, Germany
zach@tu-clausthal.de




Klassifikation der Polygone

Konvex



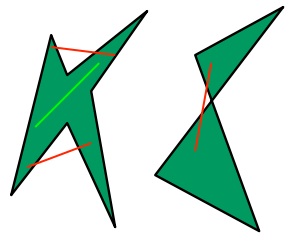
Für jedes Punktepaar in einem konvexen Polygon liegt die Verbindung auch innerhalb des Polygons

Horizontal Konvex



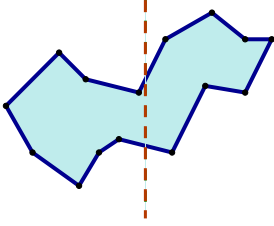
Selbe Definition, gilt hier aber nur für Punkte auf der selben horizontalen Linie

Konkav



G. Zachmann Computer-Graphik 1 – WS 11/12
Scan Conversion: Polygone 2

- Monotone Polygone:
Ein Polygon heißt **monoton bzgl. einer Geraden L** , falls jede Gerade senkrecht zu L das Polygon in höchstens zwei Punkten schneidet.
- Beispiel:

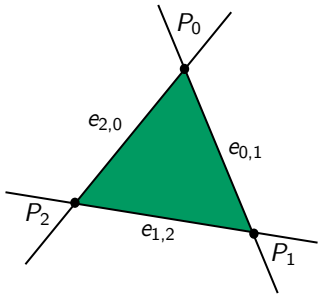


The diagram shows a light blue filled polygon with a dark blue outline. A vertical dashed orange line passes through the polygon, intersecting its boundary at three distinct points, which demonstrates that it is not monotone with respect to that line.

G. Zachmann Computer-Graphik 1 – WS 11/12 Scan Conversion: Polygone 3

Dreiecke

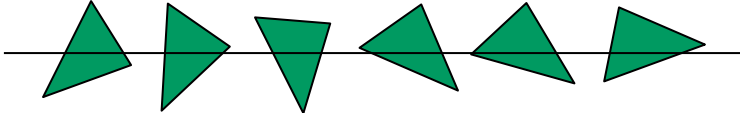
- Dreiecke sind besondere Polygone
- 3D Dreiecke sind immer eben
 - 3 Punkte beschreiben eine Ebene
 - Mit weniger als 3 Punkten kann man keine Fläche beschreiben
- Dreieck = 2D-Simplex ("einfachstes" geom. Objekt, das echt 2-dim. ist)
- Somit sind Dreiecke sehr einfach (sowohl mathematisch wie auch geometrisch)



The diagram shows a green triangle with vertices labeled P_0 , P_1 , and P_2 . The edges are labeled $e_{2,0}$, $e_{0,1}$, and $e_{1,2}$. Each vertex is also connected to an external line extending from the triangle's boundary.

G. Zachmann Computer-Graphik 1 – WS 11/12 Scan Conversion: Polygone 4

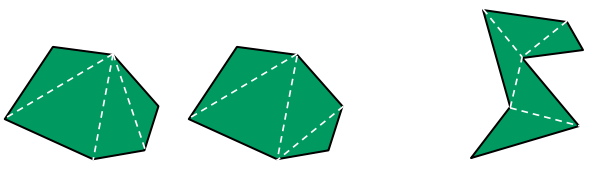
■ Dreiecke sind immer konvex → egal wie man ein Dreieck dreht, es gibt nur ein Schnittintervall (= *Span*) für jede Gerade (*Scanline*)



G. Zachmann Computer-Graphik 1 – WS 11/12 Scan Conversion: Polygone 5

Triangulation

■ Definition:
Triangulierung eines Polygons = Partitionierung des Polygons ausschließlich durch **innere Diagonalen**.



■ Satz:
 Jedes beliebige Polygon kann trianguliert werden.

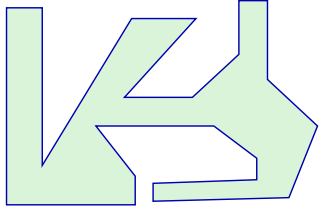
■ Fragen:

- Hängt die Anzahl Dreiecke von der Wahl der Diagonalen ab?

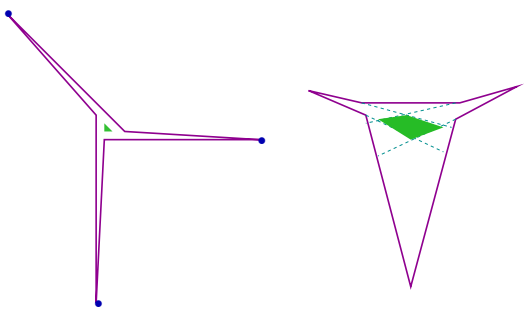
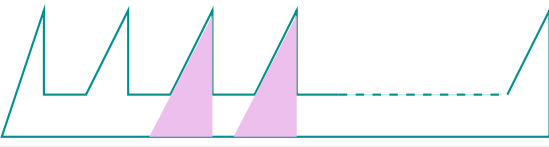
G. Zachmann Computer-Graphik 1 – WS 11/12 Scan Conversion: Polygone 6

Exkurs: das Art Gallery Theorem

- Aufgabenstellung:
 - Gegeben ist der Grundriß (*floor plan*) einer Gallerie als einfaches Polygon mit n Eckpunkten
 - Jeder Wächter (*guard*) ist fest an einem Punkt stationiert und kann 360° seiner Umgebung einsehen, aber nicht durch Wände schauen
- Frage: wieviele Wächter benötigt man?
- Satz (o. Bew.):
Jede Gallery benötigt höchstens $n/3$ Guards.
- Geschichte:
Victor Klee stellte dieses Problem Václav Chvátal auf eine Mathem.-Konferenz 1973. Dieser fand sofort einen (sehr komplizierten) Beweis, der später mittels Triangulierung sehr vereinfacht wurde.



G. Zachmann Computer-Graphik 1 – WS 11/12 Scan Conversion: Polygone 7

- Satz gibt nur obere Schranke, nicht die optimale Anzahl!
- Pathologische Fälle:
 
- Obere Schranke wird auch angenommen:
 

G. Zachmann Computer-Graphik 1 – WS 11/12 Scan Conversion: Polygone 8

Begriffe

- **Konvexer Vertex / Eckpunkt:**
 Innenwinkel $< 180^\circ$
 (= **Ohr**)
- **Reflex-Vertex = konkaver Vertex:**
 Innenwinkel $> 180^\circ$
 (= **Mund**)
- **Ohr / Diagonale:**
 $V_{i-1}V_iV_{i+1}$ heißt **Ohr** \Leftrightarrow Strecke $V_{i-1}V_{i+1}$
 ist komplett innerhalb des Polygons;
 heißt **Diagonale**.
- **Satz (Zwei-Ohren-Satz):**
 Jedes Polygon (außer Dreiecken)
 hat (mindestens) 2 Ohren.

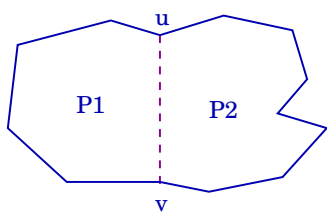
G. Zachmann Computer-Graphik 1 – WS 11/12 Scan Conversion: Polygone 9

Beweis des Satzes (Jedes Pgon kann trianguliert werden)

- Vereinfachung: nur einfache Polygone
- Beweis durch Induktion
 - Basisfall: Dreieck
 - Induktionsschritt:
 - Wähle konvexe Ecke P ;
 seien Q & R Vorgänger bzw.
 Nachfolger von P
 - Falls QR innere Diagonale des Polygon:
 → füge diese hinzu; fertig
 - Andernfalls:
 - Sei Z derjenige Reflex-Vertex (konkave Vertex), der am weitesten von QR
 entfernt und gleichzeitig innerhalb ΔPQR
 - Füge Diagonale PZ zur Traingulierung hinzu
 - Trianguliere "linkes" und "rechtes" Teilpolygon

G. Zachmann Computer-Graphik 1 – WS 11/12 Scan Conversion: Polygone 10

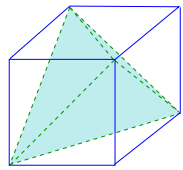
- Satz:
Jede Triangulierung eines n -gons hat $n-2$ Dreiecke.
- Bezeichne mit $t(P)$ = Anzahl Dreiecke in irgendeiner Triangulation des Polygons P
- Beweis: mittels Induktion
- Basisfall: einzelnes Dreieck, $t(P) = 1 = 3-2$
- Induktionsschritt:
 - Wähle eine Diagonale UV in der gegebenen Triangulation
 - Diese zerlegt P in P_1 und P_2
 - $t(P) = t(P_1) + t(P_2) = n_1 - 2 + n_2 - 2$
 - Da $n_1 + n_2 = n + 2 \Rightarrow t(P) = n - 2$



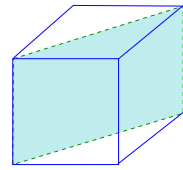
G. Zachmann Computer-Graphik 1 – WS 11/12 Scan Conversion: Polygone 11

Zum Vergleich: Triangulation in 3D

- Verschiedene Triangulierung \rightarrow verschiedene Anzahl Tetraeder:

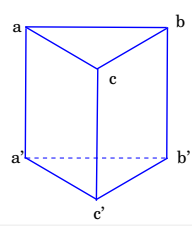


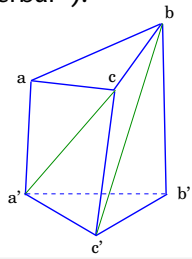
5 Tetrahedra



6 Tetrahedra

- Untriangulierbar ("Un-Tetraedrisierbar"):





G. Zachmann Computer-Graphik 1 – WS 11/12 Scan Conversion: Polygone 12

Triangulations-Algorithmen

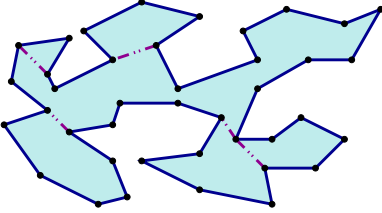
- Einfacher Algorithmus (*ear clipping*):
 - Finde ein Ohr in $O(n)$ Zeit
 - Schneide dieses ab und wiederhole
 - Laufzeit: $O(n^2)$
- Erst 1991 fand Chazelle einen $O(n)$ -Algo
 - Dieser ist aber so kompliziert, dass er völlig unpraktikabel ist ;-)
- Im Folgenden: ein einfacher $O(n \log n)$ - Algorithmus

G. Zachmann Computer-Graphik 1 – WS 11/12 Scan Conversion: Polygone 13

Überblick des einfachen Algorithmus'

1. Polygon in Trapezoide zerlegen
2. Trapezoide zu x-monotonen Polygonen zusammenfassen
3. Die x-monotonen Polygone triangulieren

-

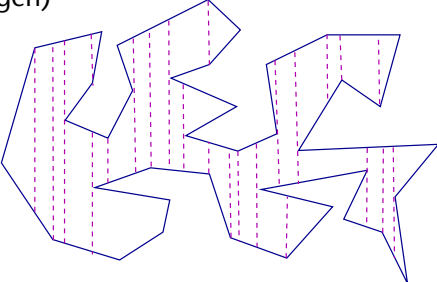


X-monotone Zerlegung

G. Zachmann Computer-Graphik 1 – WS 11/12 Scan Conversion: Polygone 14

Zerlegung in Trapezoide

- Idee: verwende Line-Sweep-Technik
- Bei jedem Vertex: verlängere Linie nach oben / unten, bis eine Kante getroffen wird
- Jede Fläche dieser Zerlegung ist ein Trapezoid (das zu einem Dreieck degeneriert sein kann)
- Details: ... (bitte selbst überlegen)
- Laufzeit:
 $O(n \log n)$

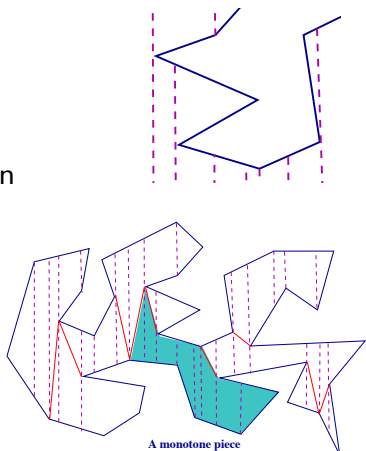


The diagram illustrates the decomposition of a complex polygon into trapezoids. Vertical dashed lines are drawn from the left side of the polygon to the right, extending from the top and bottom edges to the next vertical edge they intersect. This process is repeated for all vertices, effectively partitioning the polygon into several trapezoidal regions.

G. Zachmann Computer-Graphik 1 – WS 11/12 Scan Conversion: Polygone 15

Zerlegung in x-monotone Polygone

- Bezeichnung:
 Ein Reflex-Vertex heie **linker / rechter Reflex-Vertex**, falls die beiden inzidenten Kanten nach **rechts / links** zeigen.
- Beobachtung:
 Nicht-Monotonizitt kommt genau von linken oder rechten Reflex-Ecken (nicht von anderen Reflex-Ecken)
- Idee (o. Bew.):
 Fge zu jedem **linken / rechten** Reflex-Vertex eine Diagonale zu der **Polygon-Ecke** seines **linken / rechten** Trapezoids ein



The diagram shows a complex polygon being decomposed into x-monotone polygons. Vertical dashed lines are drawn from the left side of the polygon to the right, extending from the top and bottom edges to the next vertical edge they intersect. This process is repeated for all vertices, effectively partitioning the polygon into several x-monotone regions. One region is highlighted in green and labeled "A monotone piece".

G. Zachmann Computer-Graphik 1 – WS 11/12 Scan Conversion: Polygone 16

- Behauptung (o. Bew.):
Mit der "richtigen" Datenstruktur (DCEL, später) kann man den zugehörigen Vertex zu solch einer Diagonalen in $O(1)$ finden.
- Behauptung 2:
Eine explizite Konstruktion der Trapezoide ist gar nicht nötig; man kann die Zerlegung in monotone Polygone direkt beim Line-Sweep machen.

G. Zachmann Computer-Graphik 1 – WS 11/12 Scan Conversion: Polygone 17

Der Algorithmus zur Triangulation eines monotonen Polygons

- Beobachtung: in einem x-monotonen Polygon gibt es eine "obere" und eine "untere" Vertex-Kette

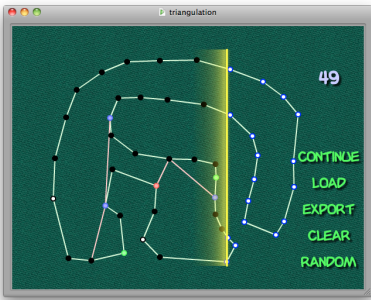
```

Sortiere alle Vertices  $v_1, v_2, \dots, v_n$  von links nach rechts
Pushe  $v_1, v_2$  auf den Stack
For  $i = 3 \dots n$ :
  # z.Z. sind Vertices  $v_q$  (bot), ...,  $v_j$  (top) auf dem Stack
  Fall 1:  $v_i$  und  $\text{top}(\text{stack})$  sind in derselben Kette
    Füge Diagonalen  $v_i v_j, \dots, v_i v_k$  ein, wobei  $v_k$  der letzte
      zulässige Vertex ist; evtl. auch keine Diagonale
    Falls Diagonalen möglich waren:
      Pop  $v_j, \dots, v_{k-1}$ 
      Push  $v_i$ 
  Fall 2:  $v_i$  ist auf der anderen Kette als  $\text{top}(\text{stack})$ 
    Füge alle Diagonalen  $v_i v_j, \dots, v_i v_q$  ein
    Merke  $v_j$ , lösche Stack
    Push  $v_j$  und  $v_i$  # Neustart für nächste Reflex-Kette
  
```

G. Zachmann Computer-Graphik 1 – WS 11/12 Scan Conversion: Polygone 18

Laufzeit

- Laufzeit für Schritt 3 (Triangulierung eines monotonen Pgons)
= $O(n)$
- Gesamtlaufzeit: $O(n \log n)$
- Demo:



<http://computacion.cs.cinvestav.mx/~anzures/geom/triangulation.php>

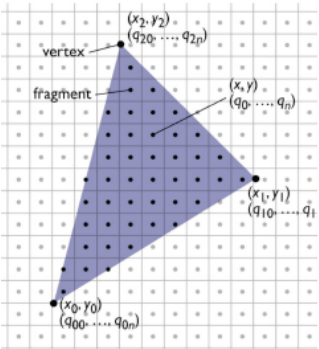
G. Zachmann Computer-Graphik 1 – WS 11/12 Scan Conversion: Polygone 21

- Der Algorithmus zum Rasterisieren erzielt aus den Eigenschaften von Dreiecken Vorteile
- Deswegen
 - ist die Graphik-Hardware optimiert für Dreiecke
 - unterteilen viele Graphikkarten konvexe Polygone in Dreiecke
 - Einige Systeme rendern eine Linie, indem sie 2 schmale Dreiecke rendern

G. Zachmann Computer-Graphik 1 – WS 11/12 Scan Conversion: Polygone 22

Rasterisierung von Dreiecken

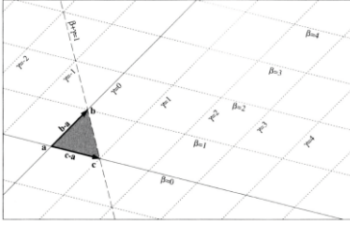
- Eingabe:
 - Drei 2D Punkte (Eckpunkte im Framebuffer / "Pixel-Raum"):
 $(x_0, y_0); (x_1, y_1); (x_2, y_2)$
 - Mit Attributen q für jeden Eckpunkt, z.B. Farbe
- Ausgabe:
 - Ganzzahlige Pixel-Koordinaten (x, y)
 - Interpolierte Parameterwerte q_{xy}



G. Zachmann Computer-Graphik 1 – WS 11/12 Scan Conversion: Polygone 23

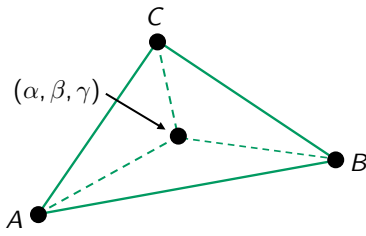
Erinnerung

- Baryzentrische Koordinaten



- Test ob Punkt im Dreieck liegt:

$$\alpha > 0 \wedge \beta > 0 \wedge \gamma > 0$$



G. Zachmann Computer-Graphik 1 – WS 11/12 Scan Conversion: Polygone 24

Alternative Betrachtungsweise

- In der Ebene ist ein Dreieck die Schnittmenge von 3 Halbebenen

$$(x - c) \cdot (a - c)^\perp > 0$$

$$(x - b) \cdot (c - b)^\perp > 0$$

$$(x - a) \cdot (b - a)^\perp > 0$$

G. Zachmann Computer-Graphik 1 – WS 11/12 Scan Conversion: Polygone 25

Algorithmus von Pineda [1988]

- Idee:
 - Berechne baryzentrische Koordinate für alle Pixel(-mittelpunkte)
$$\alpha = F_{BC}(x) = \frac{\mathbf{n}_c \cdot (X - B)}{\mathbf{n}_c \cdot (C - B)}, \quad \beta = \dots$$
 - Zeichne Pixel, falls innerhalb des Dreiecks
 - Setze interpolierte Farbe für Pixel:

$$C = \alpha C_A + \beta C_B + \gamma C_C$$
- Algo:


```

            for y = y_min ... y_max:
            for x = x_min ... x_max:
            berechne  $\alpha, \beta, \gamma$ 
            if  $\alpha > 0$  and  $\beta > 0$  and  $\gamma > 0$ :
            c =  $\alpha c_A + \beta c_B + \gamma c_C$ 
            zeichne Pixel (x,y) mit Farbe c
            
```

wobei $x_{min}, x_{max}, y_{min}, y_{max}$ = Bounding-Box von A, B, C

G. Zachmann Computer-Graphik 1 – WS 11/12 Scan Conversion: Polygone 26

Optimierung

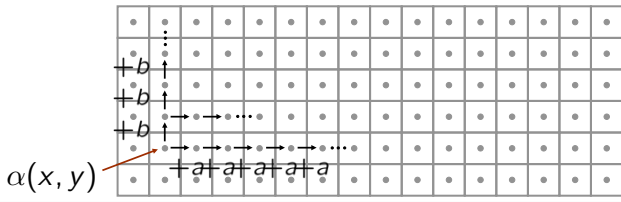
- Beobachtung: α ist eine **lineare** (eigtl. affine) Funktion in der Ebene, m.a.W., α hat die Form

$$\alpha = ax + by + c$$

Dito für β, γ
- Lineare Funktionen können sehr effizient **inkrementell** auf einem Gitter ausgewertet werden:

$$\alpha(x + 1, y) = \alpha(x, y) + a$$

$$\alpha(x, y + 1) = \alpha(x, y) + b$$



G. Zachmann Computer-Graphik 1 – WS 11/12 Scan Conversion: Polygone 27

```

linEval(xl, xh, yl, yh, cx, cy, ck):
# setup
compute a, b, c ...
qRow = a*xl + b*yl + c
# traversal
for y = Y_min ... Y_max:
  qPix = qRow
  for x = X_min ... X_max:
    draw(x, y, qPix)
    qPix += a
  qRow += b

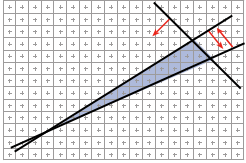
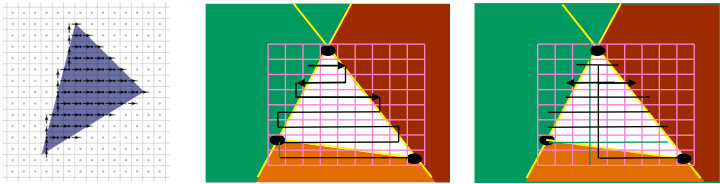
```



$a = .005; b = .005; c = 0$
(Bildgröße 100x100)

G. Zachmann Computer-Graphik 1 – WS 11/12 Scan Conversion: Polygone 28

- Problem: wenn das Dreieck lang und schmal ist, dann werden viele unnötige Berechnungen durchgeführt
- Erinnerung: Dreieck ist konvex
 - Folge: wenn man in der x-Schleife einmal ein Pixel außerhalb erreicht, dann sind alle folgenden in dieser Scanline auch außerhalb

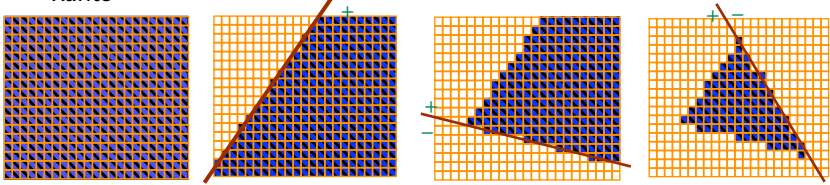



- Weiterer Vorteil des Algorithmus von Pineda: lässt sich relativ leicht parallelisieren

G. Zachmann Computer-Graphik 1 – WS 11/12 Scan Conversion: Polygone 29

Kurzer Exkurs: Die Pixel-Planes-Architektur

- Eine Geschichte mit "sad end" ...
- Die Idee:
 - Die Berechnung pro Pixel ist extrem einfach, nämlich Auswertung einer linearen Funktion $Ax + By + C$
 - Also: baue Framebuffer, in dem jedes Pixel ein einfacher Prozessor ist, der solch eine Gleichung für "seine" Koordinaten auswerten kann! ("processor per pixel")
 - Betrachte die 3 Kanten der Reihe nach
 - Lade alle Prozessoren gleichzeitig mit den Koeff. A,B,C der aktuellen Kante



Alle Prozessoren an Lade Kante 1 Lade Kante 2 Lade Kante 3

G. Zachmann Computer-Graphik 1 – WS 11/12 Scan Conversion: Polygone 30




Pixel-Planes 4 (1986)

- Features:
 - Full-size (512 by 512 pixel) prototype
 - Used 2048 enhanced memory ICs
 - 1 Geometry Processor
 - 72 bits per pixel
- Performance:
 - 35K triangles/sec
 - Kugeln als Primitive
 - CSG
 - Schatten
- "Lessons Learned":
 - Dreiecke sind klein, daher viele Proc idle
 - Für noch mehr Performance braucht man auch auf dem Geometrie-Level Parallelisierung





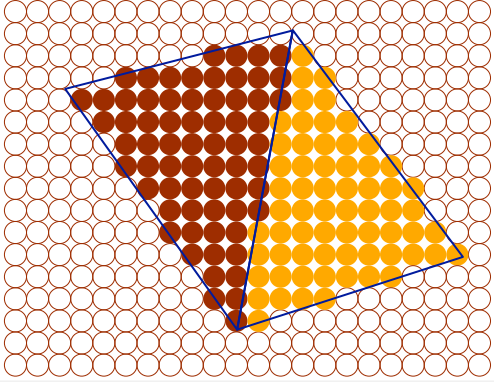
G. Zachmann Computer-Graphik 1 – WS 11/12

Scan Conversion: Polygone 31




Vorsicht bei angrenzenden Polygonen

- Behandle angrenzende Polygone korrekt!
 - Vermeide Risse
 - Vermeide Überschneidungen
 - Unabhängig von der Zeichenreihenfolge



G. Zachmann Computer-Graphik 1 – WS 11/12

Scan Conversion: Polygone 32

- Pixel vollständig im Polygon → wird gezeichnet
- Pixel zum Teil im Polygon → ... ?
- Vereinbarung (für den Moment): zeichne nur die Pixel, deren **Zentren im Inneren** des Polygons liegen
- Problem, falls Zentrum des Pixels genau auf der Ecke des Polygons liegt :
 - Nicht zeichnen → Loch
 - Zeichnen → wird möglicherweise 2x gezeichnet (ergibt sog. "z flickering" u.a. Artefakte)

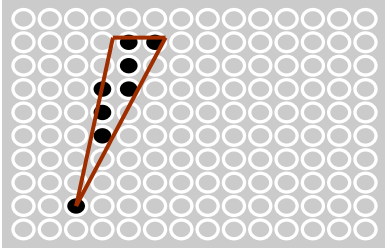
G. Zachmann Computer-Graphik 1 – WS 11/12 Scan Conversion: Polygone 33

- Problem beim 2x Zeichnen:
 - Das zuletzt gezeichnete Polygon "gewinnt"
- Mögliche Lösung (gibt noch andere):
 - Ein Begrenzungspixel (dessen Zentrum genau auf der Kante liegt) gehört **nicht** zu einem Primitiv, wenn das Primitiv links bzw. unterhalb des durch die Kanten aufgespannte Halbraumes liegt (erkennt man an der Normale)
 - Verfahre bei konvexen Polygonen genau wie bei Rechtecken
- Folgerungen für Rechtecke:
 - Spans lassen das rechteste Pixel weg (falls direkt auf Kante)
 - Bei jedem Polygon fehlt oberster Span (falls direkt auf Kante)

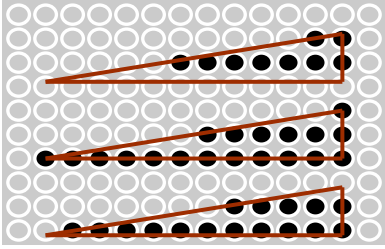
G. Zachmann Computer-Graphik 1 – WS 11/12 Scan Conversion: Polygone 34

Weiteres Problem

- Sogenannte "*Slivers*":



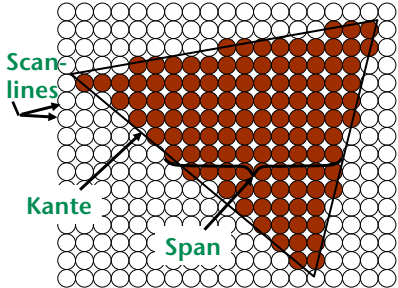
- *Moving Slivers*:



G. Zachmann Computer-Graphik 1 – WS 11/12 Scan Conversion: Polygone 35

Das allgemeine Konzept der Scan Conversion

- Gegeben: beliebiges (einfaches) Polygon
- **Span**: Folge **benachbarter** Pixel auf einer Scanline **innerhalb** des Polygons
- Hauptgedanke beim Rasterisieren:
 - Durchlaufe aufeinander folgende Scanlines
 - Berechne pro Scanline alle Spans innerhalb des Polygons
- Allg. Algorithmentechnik:
 - *Sweep-Line-Algorithmus*
 - Im Prinzip nutzt man dabei:
 - räumliche Kohärenz
 - **Dimensionsreduktion**

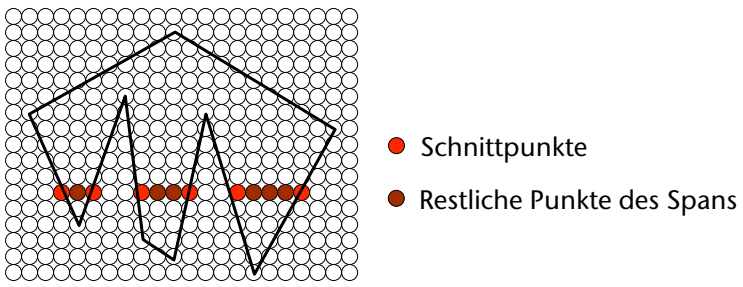


G. Zachmann Computer-Graphik 1 – WS 11/12 Scan Conversion: Polygone 36

Polygon Scan Conversion

- Annahme: gesamtes Polygon ist auf dem Bildschirm / Framebuffer

1. Bestimme alle Punkte auf der Scanline, welche die Kante eines Polygons schneiden
2. Sortiere Schnittpunkte von links nach rechts
3. Gruppierere Schnittpunkte in *Spans* und färbe die Pixel dazwischen

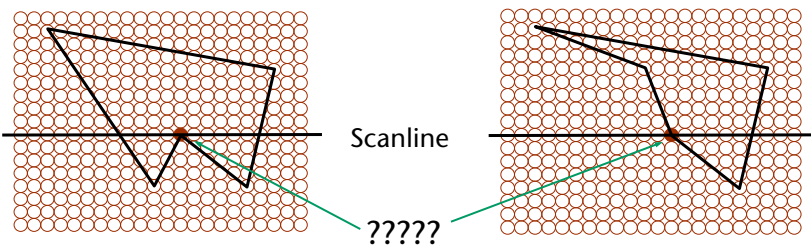


● Schnittpunkte
● Restliche Punkte des Spans

G. Zachmann Computer-Graphik 1 – WS 11/12 Scan Conversion: Polygone 37

Entscheidung "innerhalb" / "außerhalb"

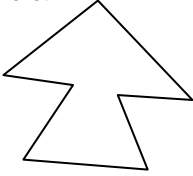
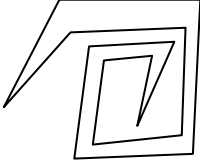
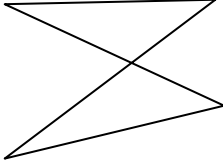
- Wie werten wir Eckpunkte genau auf der Scanline?
 - M.a.W.: begrenzt solch ein Eckpunkt einen Span?



- Lösung: zähle einen Eckpunkt genau dann, wenn er das untere Ende der einen, und das obere Ende der anderen Kante ist
- Alternative: "wackle" am Eckpunkt ein wenig ("perturbation")
 - Dann bekommt man im linken Beispiel 2 oder 0 Schnittpunkte, im rechten genau 1 Schnittpunkt

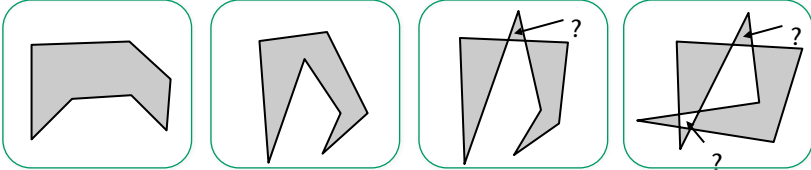
G. Zachmann Computer-Graphik 1 – WS 11/12 Scan Conversion: Polygone 38

Füllen nicht-einfacher Polygone

- Def.: Polygon ist **einfach** \leftrightarrow Randkurve hat keinen Schnittpunkt
- Beispiele:
 -  einfach (& hor. konvex)
 -  einfach
 -  nicht einfach
- Eigenschaften:
 - Topologisch äquivalent zu einer 2-dimensionalen Scheibe
 - Folge: es gibt ein wohldefiniertes Inneres/Äußeres
- Wie kann man solche Polygone füllen?
 - Verwende für jedes Pixel einen intuitiv „korrekten“ Inside-/Outside-Test

G. Zachmann Computer-Graphik 1 – WS 11/12 Scan Conversion: Polygone 51

Wesentliche Frage: wie definiert man "innen" und "außen"?

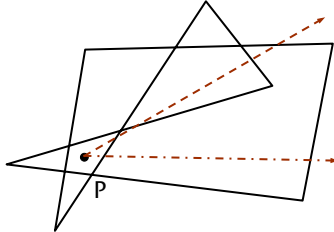


- Wesentliche Frage: wie definiert man "innen" und "außen"?

G. Zachmann Computer-Graphik 1 – WS 11/12 Scan Conversion: Polygone 52

Test 1: Odd-Even Rule

- Zeichne Strahl von Punkt P nach unendlich in irgend eine Richtung
- Zähle Anzahl Schnittpunkte mit dem Kantenzug
- Falls Anzahl ungerade \rightarrow P innerhalb
- Achtung, falls Strahl Eckpunkt genau trifft!
- Effiziente Schnittberechnung: wähle horizontalen Strahl

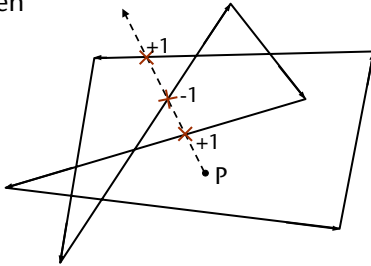


- Vorteil: funktioniert genauso mit Polyedern im 3D (und höherdim.)

G. Zachmann Computer-Graphik 1 – WS 11/12 Scan Conversion: Polygone 53

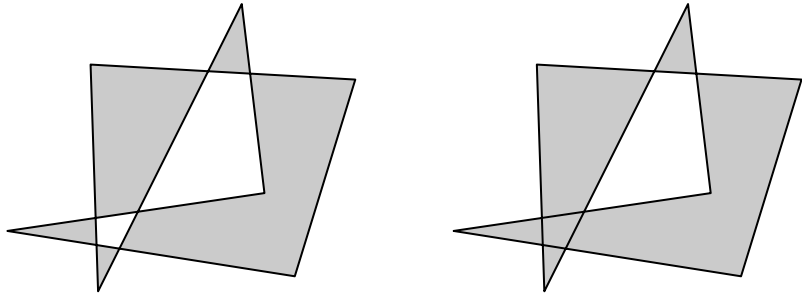
Test 2: Winding-Number Rule

- Versehe Polygon mit konsistentem Umlaufsinn
- Schneide Strahl von P aus mit Kanten
- Setze Winding-Number $w := 0$
- Für Schnitt mit Kante „von rechts nach links“ erhöhe w ; sonst erniedrige w
- Falls $w \neq 0 \rightarrow$ P innerhalb
- Anmerkung: damit definiert man gleichzeitig „positiv“ bzw. „negativ“ orientierte Regionen



G. Zachmann Computer-Graphik 1 – WS 11/12 Scan Conversion: Polygone 54

Vergleich



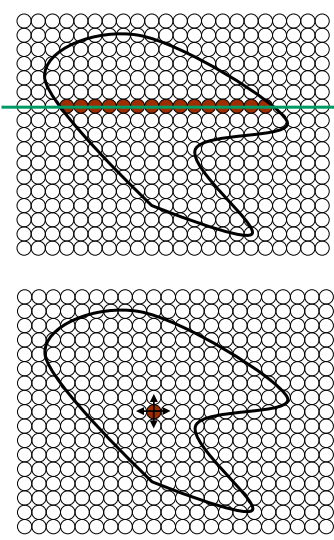
Odd-even Rule

Non-zero Winding Number

G. Zachmann Computer-Graphik 1 – WS 11/12 Scan Conversion: Polygone 55

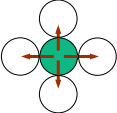
Füllen von Regionen

- Ähnliche Aufgabe zu Polygon-Scan-Conversion
 - Häufig in 2D-Zeichenprogrammen
- Erste Methode: wie Polygon-Scan-Conversion
- Zweite Methode:
 - **Flood Fill:** Wähle ein Pixel innerhalb des Polygons. Färbe rekursiv angrenzende Pixel bis das gesamte Polygon gefüllt ist



G. Zachmann Computer-Graphik 1 – WS 11/12 Scan Conversion: Polygone 56

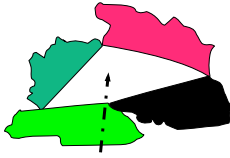
- Region ist identifiziert durch bestimmte Farbe (z.B. Weiß)
- Wähle ein Pixel innerhalb der Region
 - Region ist definiert als **zusammenhängendes** Gebiet mit **alter Farbe**
- Rekursion:
 1. Hat Pixel die alte Farbe, dann weise diesem Pixel die Füllfarbe zu
 2. Färbe rekursiv alle diejenigen Nachbarn, die noch die **alte** Farbe haben
- Alternative Begrenzung : Randkurve mit bestimmter Farbe
- Wahl der Nachbarn:



4-Verbindungen



8-Verbindungen

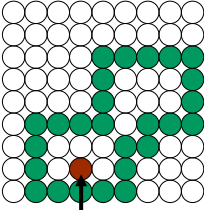


Zu füllende Region

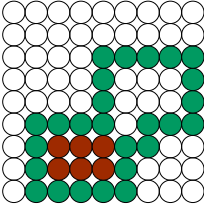
G. Zachmann Computer-Graphik 1 – WS 11/12 Scan Conversion: Polygone 57

Probleme

- Z.B. bei 4-Verbindungen pro Punkt:



Startpunkt



Komplett gefüllt

- Ein weiteres Problem: der Algorithmus hat große Rekursionstiefe
 - Kann Stack aus Spans verwenden um Rekursionstiefe zu verringern
 - Verkompliziert aber der innere "Logik" des Algo

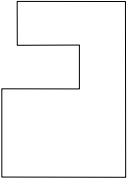
G. Zachmann Computer-Graphik 1 – WS 11/12 Scan Conversion: Polygone 58

Bereiche mit Mustern

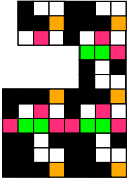
- Oft möchten wir einen Bereich mit einem Muster (z.B. gestrichelt) versehen, nicht nur eine Farbe (*stippling*)
- Definiere ein $n \times m$ **Pixmap** (oder **Bitmap**), welche wir auf den Bereich abbilden möchten:



5x4 pixmap



Mit Muster zu
versehendes Objekt



Gemustertes
Objekt

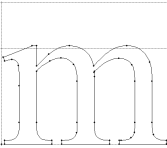
- Für jeden Punkt (x,y) : verwende die Farbe vom Muster an der Stelle $(x \bmod m, y \bmod n)$
- Fragen: soll das Muster relativ zum Polygon oder relativ zum Bildschirm **stationär** bleiben?

G. Zachmann Computer-Graphik 1 – WS 11/12 Scan Conversion: Polygone 59

Font-Rendering

- Rendering-Arten bzw. Font-Arten:
 - **Bitmap-Font** = jedes Zeichen ist eine Bitmap (oder mehrere für verschiedene Font-Größen)
 - **Outline-Font** = jedes Zeichen wird aus sog. Bézier- oder B-Spline-Kurven zusammengesetzt
 - Adobe Type 1 & Type 3, TrueType, OpenType





outline



1200 dpi



G. Zachmann Computer-Graphik 1 – WS 11/12

Scan Conversion: Polygone 60

Begriffe

- **Glyph** = graphische Repräsentation eines oder mehrerer Zeichen

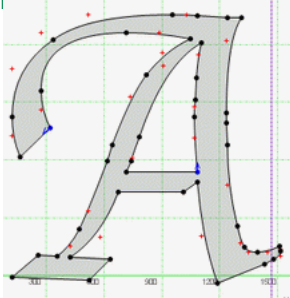


- **Typeface** = "Design" einer Menge von Zeichen
 - Z.B. Helvetica, Times Roman, Frutiger, Lucida, etc.
 - Wird von Typographen entworfen
- **Font** = Menge aller Glyphs, die in einer Sprache benötigt werden, in einem bestimmten Typeface und Stil, plus Zusatzinfos
 - **Stil** = aufrecht (roman), kursiv (italic), fett (bold), halbfett (semibold), ..
 - Zusatzinfos = Hinting, Kerning, Ligaturen, Font-Metrik, ...

G. Zachmann Computer-Graphik 1 – WS 11/12 Scan Conversion: Polygone 61

Beschreibung von Outline-Fonts

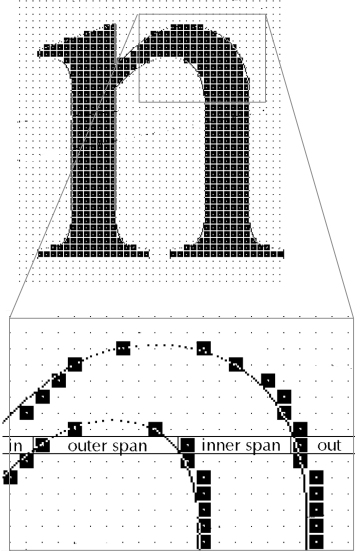
- Zeichen = Menge von geschlossenen Kurvenzügen (*Outlines*)
- Kurvenzug = Menge von **Kontrollpunkten**
- Umlaufsinn definiert innen / außen:
 - "Links von der Kurve" = innen (oder umgekehrt ...)
- Achtung: Kurvenzüge müssen überschneidungsfrei sein!
- Vorteil: beliebige Skalierung ist ohne Verlust (im Prinzip) möglich → skaliere einfach die Koordinaten der Kontrollpunkte



G. Zachmann Computer-Graphik 1 – WS 11/12 Scan Conversion: Polygone 62

Der Flag-Fill-Algorithmus von Ackland [1981]

- Annahme zunächst:
 - Die einzelnen Pixel sind sehr klein im Vergleich zu dem Zeichen
 - Innerhalb eines Pixels kann man die Kontour durch eine Gerade approx.
 - Die Überdeckung des Pixels $> 50\%$ \Leftrightarrow Pixelmittelpunkt liegt "innen"
- Idee des Algorithmus:
 - Zerlege die Scan-Lines in der BBox des Zeichens in innere und äußere Spans
 - Berechne die Start-Pixel jedes Spans aus den Konturen \rightarrow **Flags**
 - Fülle die inneren Spans

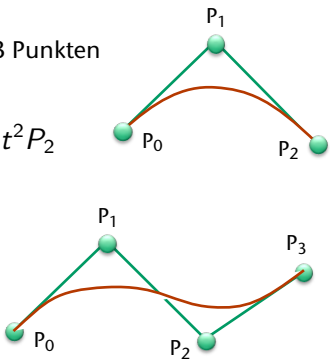


G. Zachmann Computer-Graphik 1 – WS 11/12 Scan Conversion: Polygone 63

- Outlines setzen sich zusammen aus quadratischen und kubischen Bézier-Kurven
- Quadratische Bézier-Kurven:
 - Definiert durch ein Kontroll-Polygon aus 3 Punkten
 - Polynom 2-ten Grades:

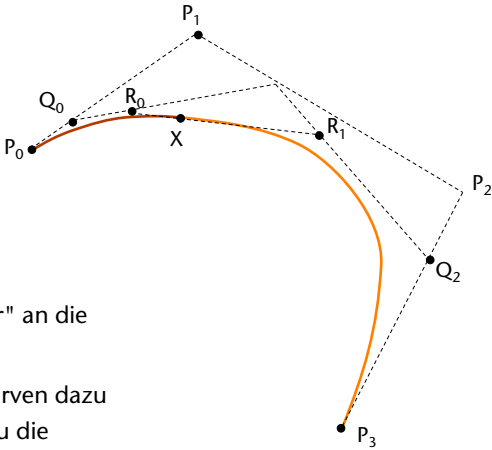
$$P(t) = (1 - t)^2 P_0 + 2(1 - t)t P_1 + t^2 P_2$$
- Kubische Bézier-Kurven:
 - Kontroll-Polygon hat 4 Punkte
 - Polynom ist vom Grad 3:

$$P(t) = (1 - t)^3 P_0 + 3(1 - t)^2 t P_1 + 3(1 - t)t^2 P_2 + t^3 P_3, \quad t \in [0, 1]$$



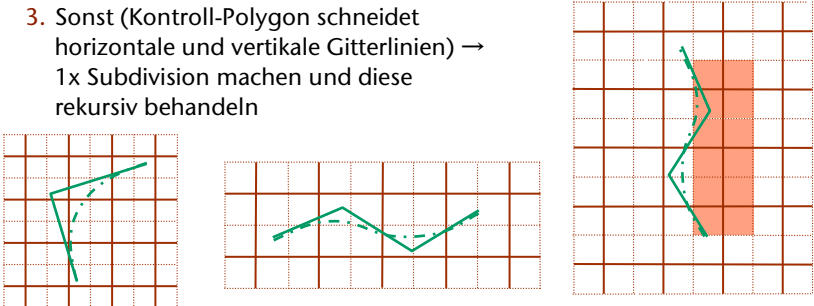
G. Zachmann Computer-Graphik 1 – WS 11/12 Scan Conversion: Polygone 64

- Approximation durch rekursive Subdivision:
 - Aus P_0, \dots, P_3 kann man **zwei neue Kontroll-Polygone** P_0, Q_0, R_0, X und X, R_1, Q_2, P_3 konstruieren
 - Schmiegen sich "dichter" an die ursprüngliche Kurve
 - Die kubischen Bézier-Kurven dazu bilden zusammen genau die ursprüngliche Kurve



G. Zachmann Computer-Graphik 1 – WS 11/12 Scan Conversion: Polygone 65

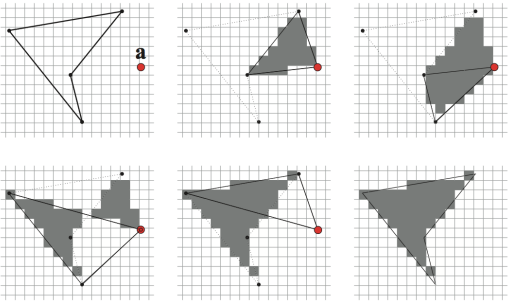
- Betrachte einzeln jede Bézier-Kurve nacheinander, d.h., betrachte deren Kontroll-Polygon
- Fallunterscheidung:
 1. Kontroll-Polygon schneidet keine (horizontale) Scanline → verwerfen
 2. Kontroll-Polygon schneidet eine oder mehrere Scanlines, und schneidet keine vertikale Gitterlinie → Flags (Pixel) rechts der Schnittpunkte setzen
 3. Sonst (Kontroll-Polygon schneidet horizontale und vertikale Gitterlinien) → 1x Subdivision machen und diese rekursiv behandeln



G. Zachmann Computer-Graphik 1 – WS 11/12 Scan Conversion: Polygone 66

Der XOR-Algorithmus

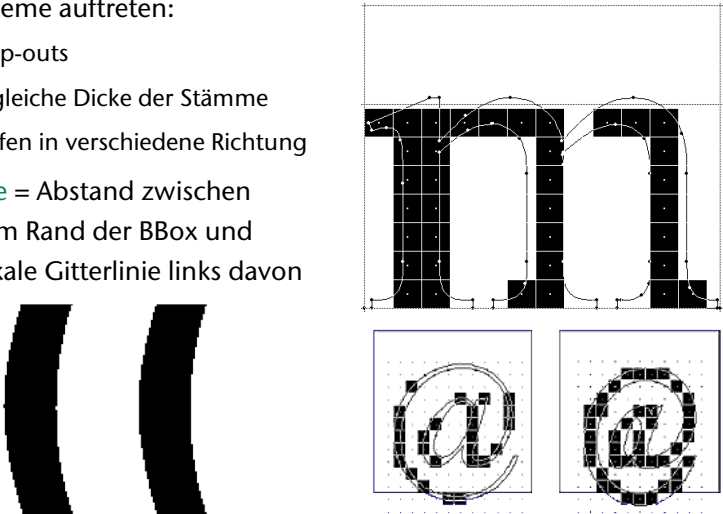
- Gegeben ein geschlossener, überschneidungsfreier Polygonzug, oder mehrere, die eine Region in der Ebene definieren
- Wähle einen beliebigen **Anker-Punkt A**
- Betrachte alle Kanten PQ der Reihe nach:
 - Invertiere alle Pixel im Dreieck ΔAPQ
- Beispiel:



G. Zachmann Computer-Graphik 1 – WS 11/12 Scan Conversion: Polygone 67

Probleme

- Bei kleinen Font-Größen können, je nach "Phase", folgende Probleme auftreten:
 - Drop-outs
 - Ungleiche Dicke der Stämme
 - Serifen in verschiedene Richtung
- Phase** = Abstand zwischen linkem Rand der BBox und vertikale Gitterlinie links davon



G. Zachmann Computer-Graphik 1 – WS 11/12 Scan Conversion: Polygone 68

Hinting (grid fitting)

- Lösung: der Rasterizer verzerrt die Konturkurven ein klein wenig und passt sie dem Gitter an, durch Verschieben einzelner Kontrollpunkte
- **Hinting** = Regeln, die besagen ...
 - welche Punkte verschoben werden dürfen;
 - welche Punkte proportional mit verschoben werden müssen;

outline before displacement

↑ displacement

Application:

from	: point 0
to	: point 6
fixed	: point 0
displaced	: point 3

outline after displacement

G. Zachmann Computer-Graphik 1 – WS 11/12
Scan Conversion: Polygone 69

Hinting (Fortsetzung):

- welche anderen Punkte dann mitverschoben werden müssen (**Constraints**)
- Muß vom Font-Designer gemacht werden
- NB: Diese Art Hinting wird nur bei TrueType-Fonts gemacht
 - Völlig anders bei Type1 ...

G. Zachmann Computer-Graphik 1 – WS 11/12
Scan Conversion: Polygone 70

Dropout-Kontrolle:

Dropout-Pixel wird nachträglich eingefügt, nachdem ein leerer Span detektiert wird

G. Zachmann Computer-Graphik 1 – WS 11/12 Scan Conversion: Polygone 71

Sub-Pixel Font-Rendering

Die Idee: betrachte jedes "Primär-Pixel" (R, G, und B) als eigenständiges Pixel:

G. Zachmann Computer-Graphik 1 – WS 11/12 Scan Conversion: Polygone 72

- Anwendung beim Font-Rendering: skaliere einfach ein Zeichen horizontal um den Faktor 3 bevor rasterisiert wird
- Einschränkungen:
 - Die Software muß den Monitor-Typ kennen (RGB-, oder BGR-, oder Delta-Anordnung)
 - Bringt nichts für hochkant gestellte Monitore (gerade bei Text ist die horizontale Auflösung viel wichtiger)
 - *Color fringing*
 - Patentiert von Micro\$oft

G. Zachmann Computer-Graphik 1 – WS 11/12 Scan Conversion: Polygone 73

- Bessere Alternative (?):
 - Fasse Rot- und Blau-Pixel von benachbarten Tripeln zu einem Primär-Pixel zusammen
 - Verwende nur Grün- und Rot/Blau-Pixel (= nur doppelte Auflösung)
 - Skaliere Fonts vor dem rasterisieren um Faktor 2
 - Modelliere die menschliche Farbwahrnehmung und korrigiere die Color Fringes entsprechend

G. Zachmann Computer-Graphik 1 – WS 11/12 Scan Conversion: Polygone 74



